

УДК 62-523

ВЫЧИСЛИТЕЛЬНЫЙ БЛОК УСТРОЙСТВА ИЗМЕРЕНИЯ ДХН Е.С. Гульматова, С.И. Заитов, А.Ю. Полухин Д.А. Бранчукова, Е.Н. Чернышова

Южно-Российский государственный технический университет (НПИ) имени М.И. Платова

В данной статье в качестве вычислительного блока устройства измерения динамической характеристики намагничивания пропорциональных электромагнитов (ПЭ) рассмотрим реализацию модели пропорционального электромагнита.

Ключевые слова: моделирование, электромагнит, динамическая характеристика намагничивания, LabView.

COMPUTER UNIT OF DHN MEASUREMENT DEVICE E.S. Gulmatova, S.I. Zaitov, A.Yu. Polukhin D.A. Branchukova E.N. Chernyshov

Platov South-Russian State Polytechnic University (NPI)

In this article, as a computing unit of a device for measuring the dynamic characteristics of magnetization of proportional electromagnets (PE), we consider the implementation of the model of proportional electromagnet. **Keywords**: modeling, electromagnet, dynamic characteristic of magnetization, LabView.

Модель содержит уравнение цепи с нелинейной индуктивностью и аппроксимирующий ДХН степенной полином:

$$\begin{cases} u = iR + \frac{d\Phi}{dt} \\ i(\Phi) = \sum_{1}^{m} k_{q}^{<1>} \Phi^{q}, npu \frac{d\Phi}{dt} \ge 0 \\ i(\Phi) = \sum_{1}^{m} k_{q}^{<2>} \Phi^{q}, npu \frac{d\Phi}{dt} < 0 \end{cases}$$

$$(1)$$

где u — напряжение приложенное к рабочей обмотке электромагнита, i — сила тока в рабочей обмотке электромагнита, R — активная составляющая сопротивления рабочей обмотки электромагнита, Φ — значение магнитного потока, k — коэффициенты аппроксимации степенного полинома, m — максимальная степень аппроксимирующего полинома.

$$\begin{cases}
\Phi = \int (u - iR)dt \\
i(\Phi) = \sum_{1}^{m} k_q^{<1>} \Phi^q, npu \frac{d\Phi}{dt} \ge 0 ,\\
i(\Phi) = \sum_{1}^{m} k_q^{<2>} \Phi^q, npu \frac{d\Phi}{dt} < 0
\end{cases}$$
(2)

При использовании разрабатываемого вычислительного блока, в модель, работу пропорционального электромагнита, описывающую заносятся полученные на физической модели [1-5] данные: амплитуда питающего сопротивление рабочей обмотки, значения коэффициентов напряжения, аппроксимации ДХН В kq. качестве выходных данных получаем



смоделированный ток iм(t), из которого средствами LabVIEW выделяем значения гармоник.

Система уравнений (2) реализована в модели пропорционального электромагнита, построенной в программном пакете LabVIEW (рисунок 1). С выхода интегратора integrator на вход блока умножителей поступает текущее значение магнитного потока Φ , блок умножителей реализует зависимость тока от магнитного потока (восходящую и спадающую ветвь ДХН), на выходе блока сумматоров получаем текущее значение тока i, далее значение тока умножается на известное значение активной составляющей сопротивления рабочей обмотки R, и получаем iR. С источника напряжения сигнал прямоугольной формы U и полученное значение iR поступают на вычитатель, на выходе которого получаем разность U- iR, интегрирование которой дает магнитный поток Φ .

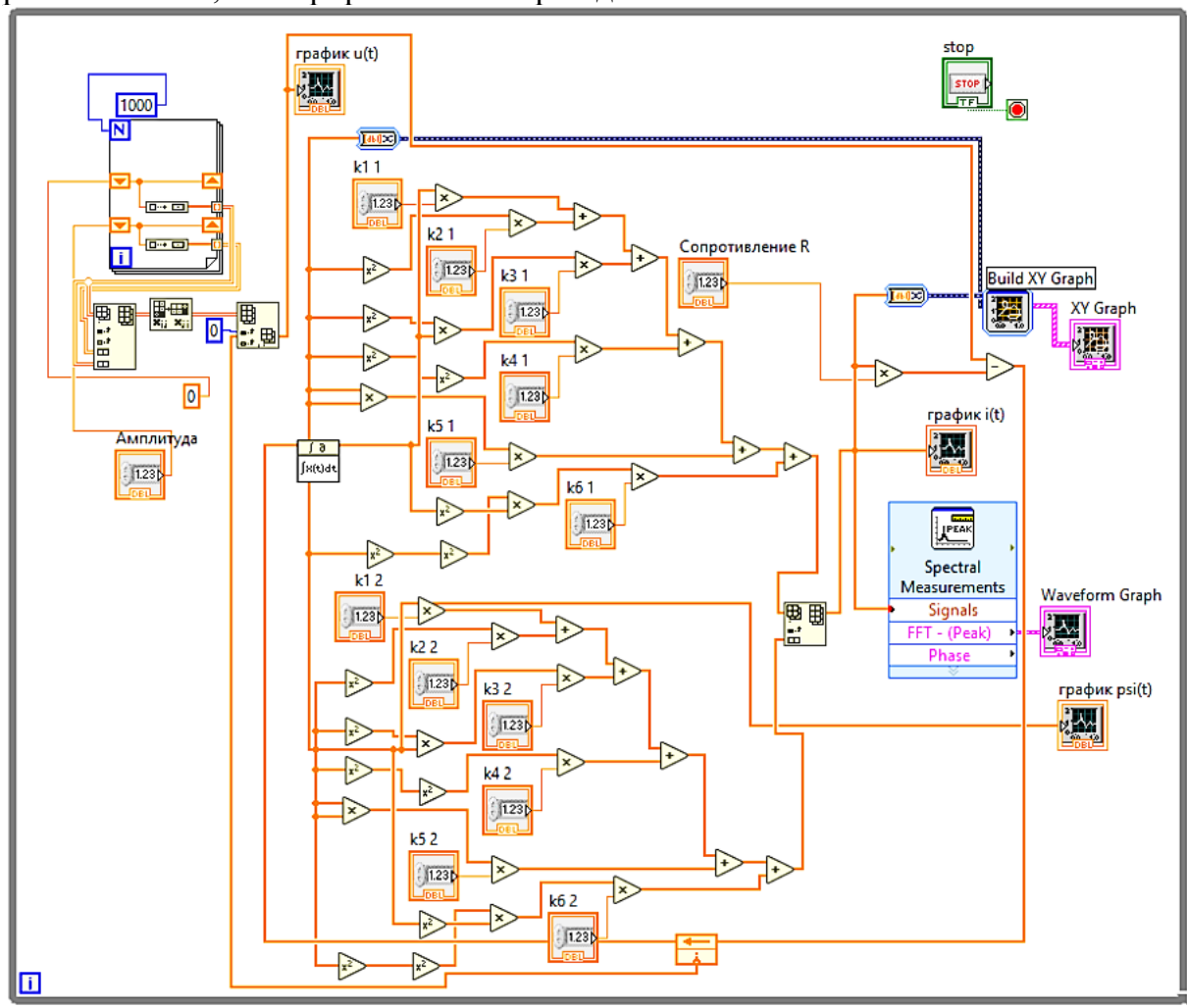


Рис.1- Модель пропорционального электромагнита в программном пакете LabVIEW

При использовании данной программы в модель, описывающую работу пропорционального электромагнита, вводятся полученные на физической модели данные: амплитуда питающего напряжения, сопротивление рабочей обмотки,



значения коэффициентов аппроксимации ДХН k_q . В качестве выходных данных получаем смоделированный ток $i_{\rm M}(t)$, из которого выделяем значения гармоник.

В аппаратно-программном комплексе удобно использовать модель построенную в программном пакете LabVIEW. Функциональная схема состоит из блоков ввода исходных данных, вычислительных блоков, блоков вывода результатов и блоков графического отображения процессов протекающих в модели электротехнического изделия переменного тока. Для работы модели необходимо ввести исходные данные: амплитуду U_a , и форму входного напряжения, а так же коэффициенты аппроксимирующей ДХН характеристики k_q . На выходе модели формируются значения гармоник тока I_q , изображения графиков изменения напряжения "u(t)", тока "i(t)", потока "psi(t)", ДХН "XY Graph" и спектрограмма тока " $Waveform\ Graph$ ". На рисунке 2 приведен внешний вид пользовательского интерфейса модели Π Э.

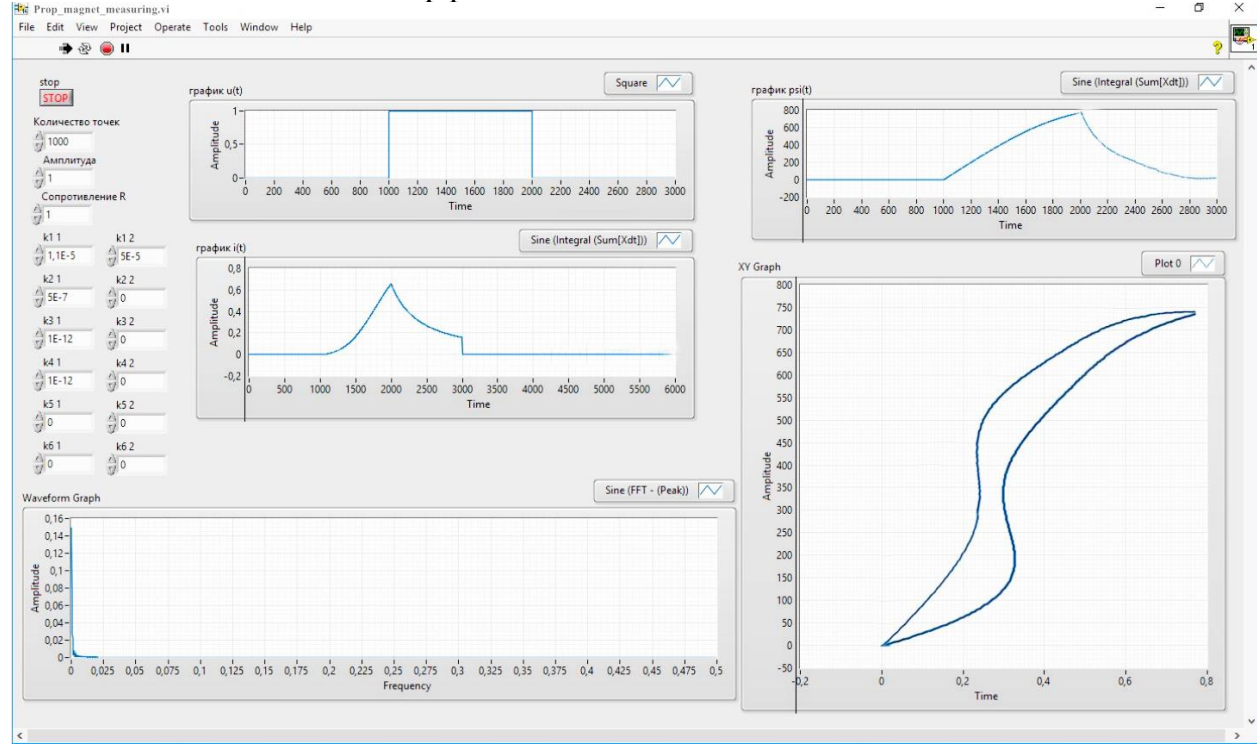
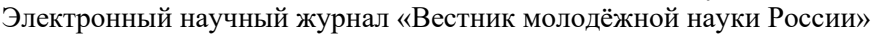


Рис.2- Пользовательский интерфейс модели пропорционального электромагнита

Разработан вычислительный блок устройства измерения динамической характеристики намагничивания пропорциональных электромагнитов, представляющий собой реализацию математической модели пропорционального электромагнита.

Основываясь на этой работе возможно создание метода натурномодельного эксперимента для оценки влияния составляющих частей электромагнита на его характеристики в собранном виде. Для этого необходимо создать модель пропорционального магнита в среде физического моделирования, произвести замеры характеристики реального ПЭ с помощью разработанного ПО на базе *LabVIEW* и настроить компьютерную модель до требуемого уровня ее адекватности. В последующем, внутри модели можно будет рассматривать





влияние неисправностей различных элементов на работу Π Э и совершать отбраковку элементов (или даже поиск взаимоисключающих неисправностей) на стадиях производства Π Э и его сборки.

Список цитируемой литературы:

- 1. Ланкина М.Ю., Бакланов А.Н., Акулов М.С. ИНФОРМАЦИОННАЯ СИСТЕМА ДЛЯ ДИАГНОСТИКИ СЛОЖНЫХ МЕХАТРОННЫХ СИСТЕМ // Электронный научный журнал «Вестник молодёжной науки России» 2019 №1. Режим доступа: https://07992ba4-dcc8-4e97-a627-2ff245129607.filesusr.com/ugd/96814c_2efcdbfee6084753a95a58bb419b1e3e.pdf (дата обращения: 1.06.2019)
- 2. Заитов С.И., Полухин А.Ю., Блажко И.О. ПРОГРАММНАЯ ПЛАТФОРМА УСТРОЙСТВА ИЗМЕРЕНИЯ МАГНИТНЫХ ПАРАМЕТРОВ ЭЛЕКТРОМАГНИТОВт // Электронный научный журнал «Вестник молодёжной науки России» -2019 №1. Режим доступа: https://07992ba4-dcc8-4e97-a627-2ff245129607.filesusr.com/ugd/96814c_15262eb5360e4b57a2c4adef89db0126.pdf (дата обращения: 1.06.2019)
- 3. Чернышова Е.Н., Блажко И.О., Заитов С.И. ПРОЕКТИРОВАНИЕ ИНФОРМАЦИОННОЙ СИСТЕМЫ ОЦЕНКИ МАГНИТНЫХ БУРЬ // Электронный научный журнал «Вестник молодёжной науки России» 2019 №1. Режим доступа https://07992ba4-dcc8-4e97-a627-
- 2ff245129607.filesusr.com/ugd/96814c _2c928897f42a4bb7bff36cb1c666a79c.pdf (дата обращения: 1.06.2019) 4. В.И. Леухин, С.Г. Январёв РАЗРАБОТКА В СРЕДЕ LABVIEW ЦИФРОВЫХ ДВОЙНИКОВ ЭЛЕМЕНТОВ ИЗМЕРИТЕЛЬНЫХ УСТРОЙСТВ // Электронный научный журнал «Вестник молодёжной науки России» 2019 №2. Режим доступа: https://07992ba4-dcc8-4e97-a627-2ff245129607.filesusr.com/ugd/96814c_a0924c3a2acd40fa89c636dc36b91f37.pdf (дата обращения: 1.06.2019) 5. А.А. Сомова, Н.Д. Наракидзе, Б.В. Черкасов РАЗРАБОТКА ДАТЧИКА ГЕОМАГНИТНОГО ПОЛЯ ДЛЯ МОБИЛЬНОГО КАРДИОМОНИТОРА// Электронный научный журнал «Вестник молодёжной науки России» 2019 №2. Режим доступа: https://07992ba4-dcc8-4e97-a627-2ff245129607.filesusr.com/ugd/96814c_3a5c3f79d3814b9099222b4eded8e4c3.pdf (дата обращения: 1.06.2019)
 - © Е.С. Гульматова, С.И. Заитов, А.Ю. Полухин Д.А. Бранчукова, Е.Н. Чернышова, 2019